

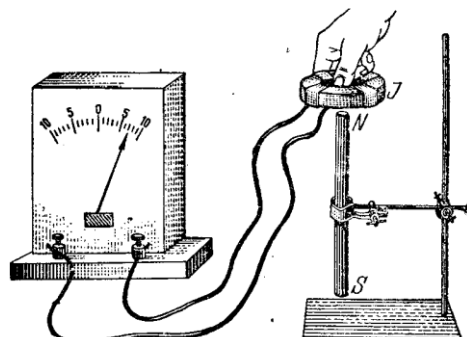
## *Електромагнітне поле*

### **5.1 Явище електромагнітної індукції**

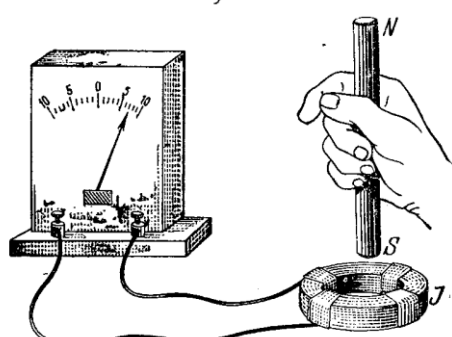
#### **5.1.1 Закон електромагнітної індукції Фарадея**

Розглянемо деякі досліди, вперше здійснені великим англійським фізиком Майклом Фарадеєм (1791-1867 рр.), у результаті яких було відкрите явище електромагнітної індукції.

Один з таких дослідів зображеній на рис. 5.1, а і б. Якщо котушку, що складається з великого числа витків дроту, швидко надівати на магніт NS або стягувати з нього (рис. 5.1, а), то в ній виникає короткочасний індуктований струм, який можна виявити за відкидом стрілки гальванометра, з'єднаного з кінцями котушки. Те ж відбувається, якщо магніт швидко вдвигати у котушку або висмикувати з неї (рис. 5.1, б). Значення має, очевидно, тільки відносний рух котушки і магнітного поля. Струм зникає, коли зникає цей рух.



а)



б)

Рис. 5.1, а і б. При відносному переміщенні котушки і магніту у котушці виникає індуктований струм. а) Котушка J надівається на магніт NS; б) магніт NS вдвигають у котушку J.

Розглянемо тепер рамку J, розміщену у магнітному полі між полюсами електромагніту (рис. 5.2).

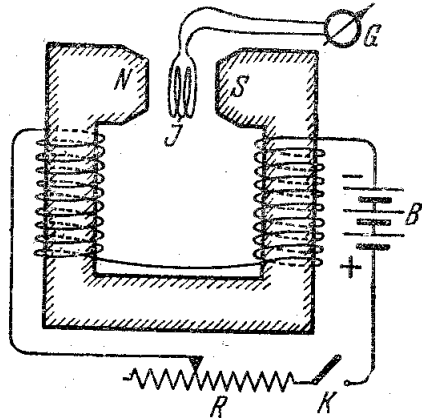


Рис. 5.2. Котушка J у полі електромагніту NS [11]



Майкл Фарадей (1791-1867) – англійський фізик. Відкрив явище електромагнітної індукції, ввів поняття магнітного поля, відкрив явище пара- і діамагнетизму.

Поля, виникає індукційний струм. Індукційний струм пов'язаний з виникненням у змінному магнітному полі замкненого вихрового електричного поля сторонніх сил  $E^x$  (рис.5.3), електрорушійна сила якого пропорційна змінному потоку магнітного поля.

Справді, розмірність е.р.с. індукції  $\varepsilon_{ind}$

$$\varepsilon_{ind} = \int E^x d\lambda, \quad (5.1)$$

пропорційна приросту потоку магнітного поля. Робота при переміщенні контуру в магнітному полі дорівнює

При кожній зміні магнітного поля (плошина витків рамки J перпендикулярна до силових ліній магнітного поля), стрілка гальванометра дає різкий відкид, що вказує на виникнення у ланцюзі котушки J індукованого електричного поля.

Уважне розглядання індукційних дослідів показує, що індукційний струм виникає тоді і тільки тоді, коли змінюється магнітний потік  $\Phi$ .

При будь-якій зміні магнітного потоку крізь провідний контур у цьому контурі виникає електричний струм.

У цьому і полягає один з найважливіших законів природи – закон електромагнітної індукції, відкритий М. Фарадеєм у 1831 р.

Суть цього явища полягає у тому, що у замкненому електричному колі, яке знаходиться у змінному потоці магнітного

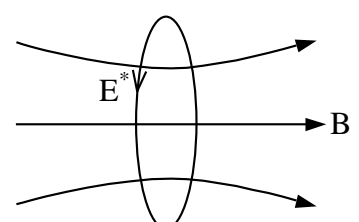


Рис.5.3. Виникнення вихрового електричного поля.

$$\Delta A = J \Delta \Phi, \quad (5.2)$$

де  $\Delta \Phi$  - приріст потоку магнітного поля.

Враховуючи, що сила струму дорівнює

$$J = \frac{\Delta q}{\Delta t}, \quad (5.3)$$

одержуємо, що робота одиничного заряду дорівнює приросту потоку за одиницю часу:

$$\frac{\Delta A}{\Delta q} = \frac{\Delta \Phi}{\Delta t}. \quad (5.4)$$

Враховуючи, що е.р.с. чисельно дорівнює роботі по переміщенню одиничного заряду, одержуємо, що е.р.с. повинна бути пропорційна приросту потоку:

$$\varepsilon_{ind} \sim \frac{\Delta A}{\Delta q} = \frac{\Delta \Phi}{\Delta t}. \quad (5.5)$$

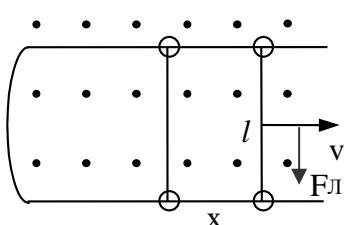


Рис. 5.4. Провідник, який рухається у магнітному полі.

Відкриття Фарадея полягає в тому, що він встановив зв'язок між вихровим електричним полем та зміною потоку магнітного поля.

Закон Фарадея в сучасній формі має такий вигляд:

$$\oint_E d\lambda = - \frac{d\Phi}{dt}, \quad (5.6)$$

де враховано визначення е.р.с. як інтегралу по замкненому контуру

$$\varepsilon_{ind} = \oint_E d\lambda,$$

а від'ємний знак у (5.6) визначає напрямок індукційного струму (правило Ленца): індукційний струм повинен мати такий напрямок, щоб утворене ним магнітне поле протидіяло зміні потоку зовнішнього магнітного поля. Підкреслимо вихровий характер індукційного струму – якщо розімкнути електричне коло, що розташоване у магнітному полі, то індукційний струм не виникає.

Розглянемо прямолінійний провідник довжиною  $\lambda$ , який рухається в перпендикулярному магнітному полі (рис.5.4) з швидкістю  $v$ .

При русі провідника довжиною  $\lambda$  в магнітному полі виникає сила Лоренца, яка змушує електрони у провіднику переміщуватися вздовж провідника. Сила Лоренца дорівнює

$$F_L = e \cdot V B, \quad (5.8)$$

а робота цієї сили

$$A = \int_0^\lambda F_L d\lambda = e V B \lambda \quad (5.9)$$

дозволяє визначити е.р.с., для якої сила Лоренца відіграє роль сторонніх сил:

$$\varepsilon_{ind} = \frac{A}{e} = V B \cdot \lambda. \quad (5.10)$$

З іншого боку, одержане співвідношення можна записати як зміну потоку магнітного поля:

$$V \cdot B \cdot \lambda = \frac{dx}{dt} \cdot B \cdot \lambda = \frac{d}{dt}(B \cdot x \cdot \lambda) = \frac{d}{dt}(B \cdot S) = \frac{d\phi}{dt}.$$

Таким чином, з (5.10) одержуємо закон Фарадея (без урахування правила Ленца):

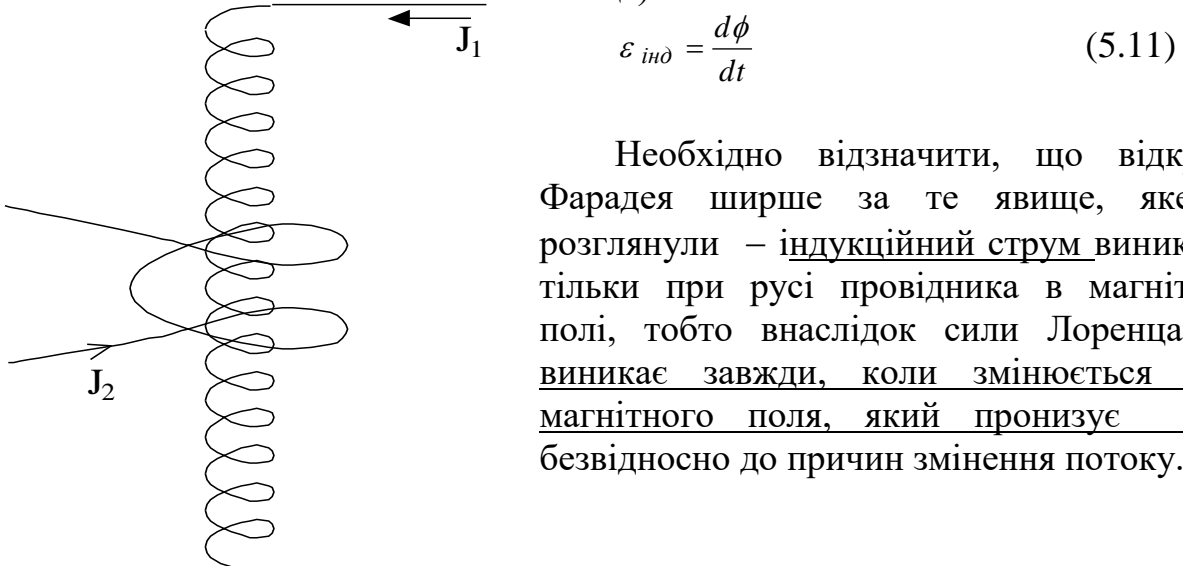


Рис.5.5. До визначення взаємної індукції.

Необхідно відзначити, що відкриття Фарадея ширше за те явище, яке ми розглянули – індукційний струм виникає не тільки при русі провідника в магнітному полі, тобто внаслідок сили Лоренца, але виникає завжди, коли змінюється потік магнітного поля, який пронизує коло, безвідносно до причин змінення потоку.

### 5.1.2 Взаємна індукція. Самоіндукція

Розглянемо два соленоїди, по першому з них тече струм  $J_1$ . Знайдемо струм у другому соленоїді.

У першому соленоїді поле

$$B = \mu_o n_1 J_1, \quad (5.12)$$

де  $n_1 = \frac{N_1}{\lambda_1}$  - густина витків першого соленоїда. Потік магнітного поля (5.12)

крізь витки другого соленоїда

$$\phi_2 = N_2 S_2 B = \mu_o \frac{N_1 N_2 S_2}{\lambda_1} J_1.$$

Тоді е.р.с., яка виникає в другому соленоїді, дорівнюватиме

$$\varepsilon_{21} = -\frac{d\phi_2}{dt} = -\frac{\mu_o N_1 N_2 S_2}{\lambda_1} \frac{dJ_1}{dt} = -M_{21} \frac{dJ_1}{dt}. \quad (5.13)$$

Коефіцієнт пропорційності  $M_{21}$  називається коефіцієнтом взаємної індукції.

$$M_{21} = \frac{\mu_o N_1 N_2 S_2}{\lambda_1}. \quad (5.14)$$

Розглянемо соленоїд, який має  $N$  витків, довжину  $\lambda$ . По соленоїду тече змінний струм  $J$ . Поле соленоїда

$$B = \mu_o n J, \quad (5.15)$$

де  $n$  - густина витків  $n = \frac{N}{\lambda}$ .

Потік, утворений полем  $B$  у витках соленоїда

$$\phi = N \cdot B \cdot S = \frac{\mu_o N^2 S}{\lambda} J, \quad (5.16)$$

де  $S$  – площа витка соленоїда. Тоді е.р.с. індукції в соленоїді

$$\varepsilon = -\frac{d\phi}{dt} = -\frac{d}{dt}(NB \cdot S) = -\frac{d}{dt}\left(\mu_o \frac{N^2}{\lambda} SJ\right) = -\frac{\mu_o N^2 S}{\lambda} \frac{dJ}{dt},$$

або е.р.с. самоіндукції

$$\varepsilon_c = -L \frac{dJ}{dt}, \quad (5.17)$$

$$\text{де } L = \frac{\mu_o N^2 S}{\lambda}, \quad (5.18)$$

- індуктивність соленоїда. Потік, відповідно з (5.16) можна подати у вигляді:

$$\phi = LJ. \quad (5.19)$$

Якщо одиниця вимірювання магнітного потоку Вебер ( $B\delta$ ) :

$$[\phi] = B\delta = Tl \cdot m^2,$$

то одиниця вимірювання індуктивності – Генрі ( $\Gamma_h$ ):

$$1\Gamma_h = 1 \frac{B\delta}{A}.$$

Струм самоіндукції завжди перешкоджає зміні зовнішнього струму – спрямований у напрямку зовнішнього струму у випадку, коли він зменшується, та спрямований у протилежному напрямку, коли зовнішній струм збільшується.

### 5.1.3 Власна енергія струму

Робота, яку виконує струм самоіндукції при переміщенні заряду  $dq$  дорівнює

$$dA = \varepsilon_c \cdot dq,$$

де е.р.с. індукції

$$\varepsilon_c = -L \frac{dJ}{dt}.$$

Тоді приріст роботи буде дорівнювати

$$dA = -L \frac{dJ}{dt} dq = -LJ dJ. \quad (5.20)$$

Тут враховано, що  $\frac{dq}{dt} = J$ . Інтегруючи (5.20), одержуємо вираз для роботи, яка відбувається у контурі з індуктивністю  $L$ :

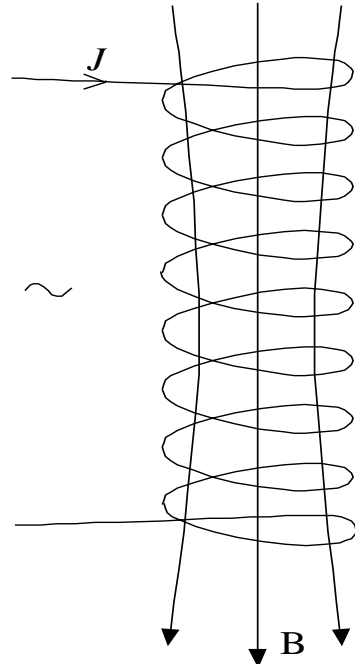


Рис.5.6.Поле соленоїда

$$A = -L \frac{J^2}{2}. \quad (5.21)$$

Енергія, що збирається від зовнішнього джерела, щоб виконати роботу (5.21), дорівнює

$$W = -A = \frac{LJ^2}{2}.$$

Знайдемо енергію магнітного поля одиниці об'єму соленоїда. Для цього скористаємося значенням індуктивності (5.18):

$$\begin{aligned} L &= \frac{\mu_0 N^2 S}{\lambda} : \\ i & W = \frac{\mu_0 N^2 S}{2\lambda} J^2. \end{aligned} \quad (5.22)$$

Враховуючи значення індукції  $B$  у соленоїді

$$B = \mu_0 \frac{N}{\lambda} J,$$

енергію (5.22) можна представити у вигляді

$$W = \frac{1}{2\mu_0} S \cdot \lambda \cdot B^2 = \frac{1}{2\mu_0} V B^2,$$

де  $V = S \cdot \lambda$  - об'єм соленоїда. Тоді густина енергії магнітного поля буде дорівнювати

$$U = \frac{W}{V} = \frac{B^2}{2\mu_0}.$$

#### 5.1.4 Зникнення та виникнення струму в колі з індуктивністю

Розглянемо коло, до складу якого входить джерело струму з е.р.с.  $\varepsilon$ , опір  $R$  та індуктивність  $L$  (рис. 5.7). Якщо ключ  $K$  розімкнений, у колі буде діяти е.р.с. джерела та виникне струм з силою  $J_0 = \frac{\varepsilon}{R}$ . Якщо замкнути ключ  $K$ , то джерело струму вимикається і струм почне зникати. Позначимо  $J$  миттєву силу струму в момент часу  $t$  і врахуємо, що падіння напруги в колі дорівнює сумі е.р.с., які діють

$$RJ = \varepsilon_c = -L \frac{dJ}{dt}.$$

Якщо розділити змінні в цьому рівнянні

$$\frac{dJ}{J} = -\frac{R}{L} dt$$

та проінтегрувати, знаходимо

$$J = J_0 e^{-\frac{R}{L} t},$$

де  $J_0$  визначається початковою умовою

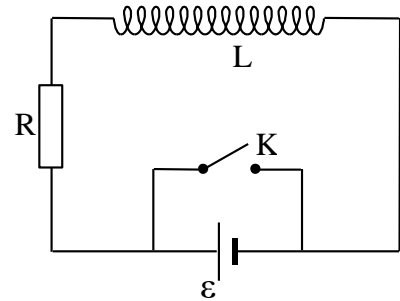


Рис. 5.7. Коло з індуктивністю.

$$J = J_0, \text{ при } t = 0. \quad (5.23)$$

Закон зникнення струму (рис. 5.8) можна записати у вигляді

$$J = J_0 \exp\left(-\frac{t}{\tau}\right), \quad (5.24)$$

де використана стала часу

$$\tau = \frac{L}{R}. \quad (5.25)$$

Якщо в колі (рис. 5.7) ключ К спочатку був замкненим, а потім його розімкнули, то в колі почнеться процес встановлення струму. При цьому, крім е.р.с. самоіндукції діє е.р.с. джерела струму і падіння напруги дорівнюватиме:

$$RJ = \varepsilon - L \frac{dJ}{dt}. \quad (5.26)$$

або

$$\frac{dJ}{dt} = -\frac{1}{L}(RJ - \varepsilon) \quad (5.27)$$

де  $R$  - повний опір кола.

Використовуючи змінну

$$U = RJ - \varepsilon, \quad (5.28)$$

одержуємо  $\frac{dU}{dt} = R \frac{dJ}{dt}$ , або  $\frac{dJ}{dt} = \frac{1}{R} \cdot \frac{dU}{dt}$ .

Тоді рівняння (5.27) набуває вигляду

$$\frac{1}{R} \cdot \frac{dU}{dt} = -\frac{U}{L},$$

або  $\frac{dU}{U} = -\frac{R}{L} dt. \quad (5.29)$

Враховуючи сталу часу (5.25), рівняння (5.29) має такий розв'язок:

$$U = C \cdot e^{-\frac{t}{\tau}}. \quad (5.30)$$

Початкові умови мають вигляд

$$t = 0, \quad J = 0, \quad U = -\varepsilon,$$

враховуючи які, знаходимо з (5.30) сталу:

$$-\varepsilon = C, \quad U = -\varepsilon \cdot e^{-\frac{t}{\tau}}. \quad (5.31)$$

Повертаючись до старих змінних,

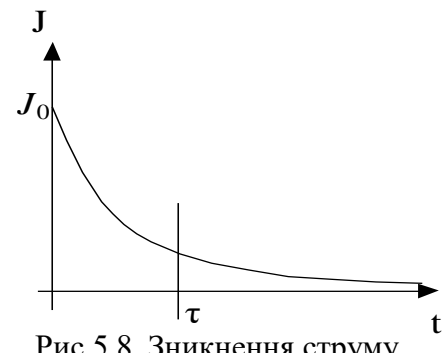


Рис.5.8. Зникнення струму.

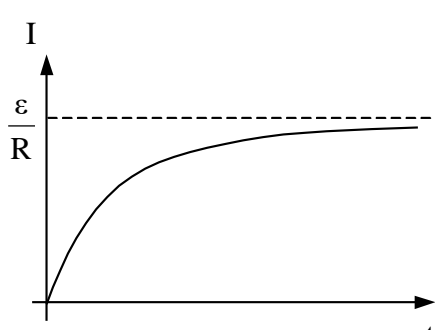


Рис. 5.9. Установлення струму.

одержуємо

$$\begin{aligned} U &= RJ - \varepsilon, \\ J &= \frac{1}{R}(U + \varepsilon) = \frac{1}{R}\left(-\varepsilon \cdot e^{-t/\tau} + \varepsilon\right), \\ J &= \frac{\varepsilon}{R}\left(1 - e^{-t/\tau}\right). \end{aligned} \quad (5.32)$$

Ця залежність (рис.5.9) показує, що сила струму, який виникає, асимптотично зростає до значення  $\frac{\varepsilon}{R}$ . Швидкість виникнення струму визначається сталою  $\tau = \frac{L}{R}$ . Якщо ключ періодично вмикати та вимикати, то залежність струму від часу буде мати вигляд пилоподібної кривої (рис.5.10).

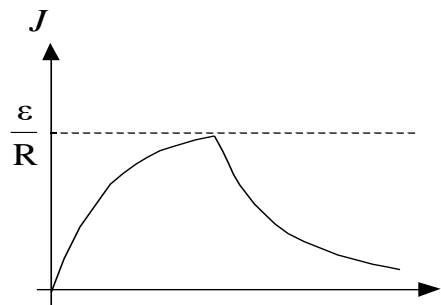


Рис. 5.10. Пилоподібна залежність струму.

## 5.2 Магнітні властивості речовини

### 5.2.1 Атомні струми. Напруженість магнітного поля. Магнітна сприйнятливість

Дослід показує, що речовина в магнітному полі намагнічується, тобто сама є джерелом магнітного поля. Магнітне поле середовища має складову поля струмів електропровідності та складову поля речовини і відрізняється від магнітного поля струмів електропровідності у вакуумі. Речовини, здатні намагнітитися, називаються магнетиками.

Ш. Кулон, що провів величезної важливості роботу, звернув увагу на надзвичайно істотну і глибоку різницю між електричними і магнітними явищами. Ця різниця полягає в тому, що ми можемо **розділити** електричні заряди і одержати тіло з **надлишком** позитивної або від'ємної електрики, але **ми не можемо розділити у тілі північний і південний магнетизм і одержати магнітне тіло з одним тільки полюсом**. Більше того: обидва полюси будь-якого магніту представляють собою рівні за величиною кількості магнетизму, так що ми не можемо мати тіло, яке містить «у надлишку» північний або південний магнетизм.

Через неможливість розділити північний і південний магнетизм у тілі Кулон зробив висновок: ці два види магнітних зарядів **нерозривно зв'язані** один з одним у кожній елементарній частинці речовини, що намагнічується.

Іншими словами, було визначено, що кожна невелика частинка такої речовини – його атом, молекула або невелика група атомів або молекул – представляє собою щось начебто маленького магніту з двома полюсами на кінцях. Таким шляхом Кулон прийшов до дуже важливої гіпотези про існування **елементарних магнітів** з нерозривно зв'язаними полюсами.

Ампер рішуче відмовився від уявлення про існування у природі особливих магнітних зарядів. З точки зору Ампера, *елементарний магніт – це круговий струм, що циркулює всередині невеликої частинки речовини: атома, молекули або групи їх*. При намагнічуванні більша або менша частина таких струмів встановлюється паралельно одному одному.

З точки зору теорії Ампера стає зовсім зрозумілою невіддільність один від одного північних і південних полюсів. Кожний елементарний магніт представляє собою круговий виток струму. Ми бачили вже, що одна сторона цього витка відповідає північному, інша – південному полюсу. Саме тому не можна відокремити один від одного північний і південний полюси, як не можна відокремити одну сторону площини від іншої.

Таким чином, *ніяких магнітних зарядів не існує. Кожний атом речовини можна розглядати у відношенні його магнітних властивостей як круговий струм. Магнітне поле намагніченого тіла складається з магнітних полів цих кругових струмів.*

У не намагніченому тілі всі елементарні струми розташовані хаотично, і тому ми не спостерігаємо у зовнішньому просторі ніякого магнітного поля.

Процес намагнічування тіла полягає в тому, що під впливом зовнішнього магнітного поля його елементарні струми у більшій або меншій мірі установлюються паралельно одному і створюють результатуюче магнітне поле.

Таким чином, намагнічування речовини пов'язано з мікроелектричними атомними струмами, які існують у кожному атомі будь-якої речовини. Атомні струми можна розглядати як замкнений кільцевий контур. Такий контур має магнітний момент.

Магнітний момент атома обчислюємо за формулою

$$P_m = J \cdot S \quad (5.33)$$

де  $J$  - атомний струм, який дорівнює

$$J = \frac{ev}{2\pi r}, \quad (5.34)$$

а  $\frac{e}{2\pi r}$  - лінійна густина заряду в атомі ( $2\pi r$  - довжина кола),  $S = \pi r^2$  - площа перерізу атома. Тоді магнітний

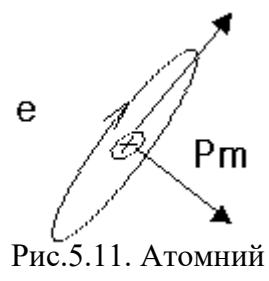


Рис.5.11. Атомний струм.

момент атома має вигляд

$$P_m = \frac{ev}{2\pi r} \cdot \pi r^2 = \frac{evr}{2}.$$

Враховуючи значення моменту імпульсу електрона, який обертається по колу з радіусом  $r$  та швидкістю  $v$ :

$$L = mvr,$$

магнітний момент атома має вигляд

$$\vec{P}_m = \frac{e}{2m} \vec{L}. \quad (5.35)$$

Напрям магнітного моменту  $\vec{P}_m$ , визначається за допомогою правила свердлика та збігається з напрямом моменту імпульсу  $\vec{L}$ . Проекція магнітного моменту на вісь  $Z$  буде дорівнювати відповідно:

$$P_{mz} = \frac{e}{2m} L_z. \quad (5.36)$$

Якщо магнетик не намагнічений, то він не утворює магнітне поле. Це означає, що атомні струми орієнтовані в ньому хаотично, та їх сумарний магнітний момент, а також магнітне поле магнетика, дорівнюють нулю. При намагнічуванні магнетика атомні струми орієнтуються таким чином, що створюють магнітне поле речовини. Намагнічування речовини характеризується вектором намагнічування  $M$ .

Вектор намагнічування визначається як середній (сумарний) магнітний момент одиниці об'єму речовини

$$\vec{M} = \frac{\sum_{i=1}^N \vec{P}_{mi}}{v}. \quad (5.37)$$

Вектор намагнічування є фізичною величиною, що характеризує магнітний стан речовини.

Запишемо теорему про циркуляцію індукції магнітного поля, враховуючи, що в середовищі присутні як струми електропровідності, так і атомні струми:

$$\oint_{\Gamma} B_{\tau} d\lambda = \mu_o J = \mu_o (J_{np} + J_{AT}) \quad (5.38)$$

Атомний сумарний струм визначається циркуляцією вектора намагнічування:

$$J_{AT} = \oint_{\Gamma} M_{\tau} d\lambda. \quad (5.39)$$

Тоді циркуляція магнітного поля має вигляд:

$$\oint_{\Gamma} B_{\tau} d\lambda = \mu_o J_{np} + \mu_o \oint_{\Gamma} M_{\tau} d\lambda,$$

або

$$\oint_{\Gamma} (B - \mu_o M)_{\tau} d\lambda = \mu_o J_{np}. \quad (5.40)$$

Перетворюючи вираз (5.40), маємо:

$$\oint_{\Gamma} \left( \frac{B}{\mu_0} - M \right) \tau d\lambda = J_{np}. \quad (5.41)$$

Вектор

$$\frac{\vec{B}}{\mu_0} - \vec{M} = \vec{H} \quad (5.42)$$

називається напруженістю магнітного поля. Напруженість  $\vec{H}$  магнітного поля – це поле струмів електропровідності. Циркуляція напруженості  $H$  має вигляд:

$$\oint_{\Gamma} H \tau d\lambda = J_{np}. \quad (5.43)$$

Одиниця вимірювання напруженості магнітного поля

$$[H] = \frac{A}{M}, [B] = Tl = \frac{H}{A \cdot m} = \frac{Vb}{m^2}.$$

На відміну від напруженості поля  $H$ , індукція магнітного поля  $B$  має сенс поля всіх струмів у середовищі та складається з поля атомних струмів і поля струмів електропровідності. Між індукцією поля  $B$  і напруженістю  $H$  можна одержати співвідношення за допомогою магнітної сприйнятливості  $\chi$ , яка визначає спроможність речовини до намагнічування:

$$\vec{M} = \chi \vec{H} \quad (5.44)$$

яке пропорційне напруженості магнітного поля.

Тоді (5.42) після перетворення:

$$\frac{B}{\mu_0} - M = \frac{B}{\mu_0} - \chi H = H, \quad (5.45)$$

дозволяє одержати співвідношення

$$B = \mu_0 (1 + \chi) H. \quad (5.46)$$

Якщо ввести магнітну проникність речовини  $\mu$ :

$$\mu = 1 + \chi, \quad (5.47)$$

то формула зв'язку напруженості  $H$  та індукції магнітного поля  $B$  набуває остаточного вигляду

$$\vec{B} = \mu_0 \mu \vec{H}. \quad (5.48)$$

Розрізняють три типи магнетиків за їх природою намагнічування. Діамагнітною називають речовину, для якої магнітна проникність  $\mu$  менша за одиницю

$$\mu < 1 \text{ (діамагнетик).} \quad (5.49)$$

Отже, магнітна сприйнятливість  $\chi$  діамагнетиків має від'ємний знак:

$$\chi = \mu^{-1} < 0, \quad (5.50)$$

вектор намагнічування  $\vec{M}$  діамагнетиків спрямований протилежно напруженості магнітного поля:

$$\vec{M} = \chi \vec{H} \text{ або } \vec{M} = -[\chi] \cdot \vec{H}. \quad (5.51)$$

Це означає, що діамагнетики виштовхуються з магнітного поля  $H$ , в яке вони потрапляють.

На відміну від діамагнетиків, магнітна проникність парамагнетиків більша за одиницю

$$\mu > 1 \text{ (парамагнетики)} \quad (5.52)$$

і вони втягуються магнітним полем.

Окрім цього, до магнетиків відносять феромагнетики, в яких

$$\mu \gg 1 \text{ (феромагнетики).} \quad (5.53)$$

### 5.2.2 Намагнічування діамагнетиків

Природа діамагнетизму пояснюється індукційними струмами, які виникають в атомних колах унаслідок явища електромагнітної індукції. У діамагнетиків власні атомні струми скомпенсовані та за відсутності поля як атомні струми, так і магнітні моменти атомів, дорівнюють нулю. Якщо вмикають зовнішнє поле, в атомах, унаслідок явища електромагнітної індукції, виникають кільцеві струми індукції, спрямовані, згідно з правилом Ленца, таким чином, щоб протидіяти зовнішньому полю (рис.5.12).

Отже, вектор намагнічування діамагнетиків має від'ємний знак, а діамагнетик виштовхується із магнітного поля.

Необхідно відмітити, що діамагнітний ефект не залежить від температури магнетика.

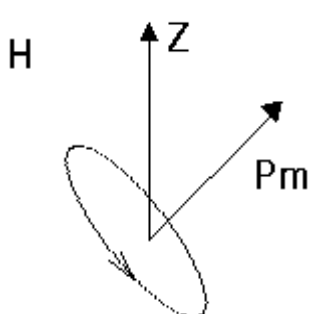
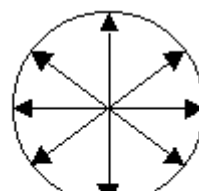


Рис. 5.13. Орієнтація атома парамагнетика в магнітному полі.

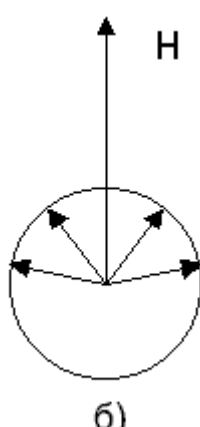
атомів  $P_m$  були спрямовані вздовж напрямку поля  $H$  (рис.5.14):

Вектор намагнічування  $M$  дорівнює сумі проекцій магнітних моментів на напрямок поля  $H$

$$M = \sum_i P_{m_z}^i \cdot n_i(\theta) \quad (5.54)$$



а



б)

12 Рис.5.14. Орієнтація дипольних моментів парамагнетика: а) поле  $H$  дорівнює нулю, б) орієнтація у полі.

Для обчислення суми необхідно підрахувати число магнітних моментів, що повернулися у полі на кут  $\theta$  (рис.5.13). Враховуючи те, що енергія магнітного моменту, орієнтованого під кутом  $\theta$  у магнітному полі визначається формuloю

$$W = -P_m H \cos\theta ,$$

а число атомів, які повернулися на кут  $\theta$ , визначається розподілом Болтьмана:

$$n(\theta) = N e^{-\frac{w(\theta)}{kT}} = N e^{-\frac{P_m H \cos\theta}{kT}} , \quad (5.55)$$

та враховуючи нерівність

$$\frac{P_m H}{kT} < 1 \quad (5.56)$$

після розкладу (5.55) в ряд ( $e^x = 1 + x + \dots$ ), маємо

$$n(\theta) = N \left( 1 + \frac{P_m H}{kT} \cos\theta + \dots \right) . \quad (5.57)$$

Перший доданок цього виразу дає значення вектора намагнічування, який відповідає умовам насичення (велика напруженість магнітного поля  $H$  та низька температура):

$$M_{nas} = P_m \cdot N , \quad (5.58)$$

коли усі магнітні моменти орієнтовані за напрямком поля  $H$ . При високих температурах тепловий рух атомів руйнує паралельну орієнтацію моментів. Тоді другий доданок (5.57) дає вектор намагнічування при високих температурах та невеликих напруженостях поля  $H$

$$\begin{aligned} M &= \int_0^\pi \left( P_m \cos\theta \cdot N \cdot \frac{P_m H}{kT} \cdot \cos\theta \right) \cdot \sin\theta \cdot d\theta = \\ &= N \frac{P_m^2 H}{kT} \cdot \int_0^\pi \cos^2\theta \cdot \sin\theta \cdot d\theta = \frac{N P_m^2 H}{3kT} . \end{aligned} \quad (5.59)$$

У формулі (5.59) врахований перехід у полярну систему координат

$$d(P_m \cos\theta) = P_m \sin\theta d\theta .$$

$$\text{Вираз } M = \frac{N P_m^2 H}{3kT} \quad (5.60)$$

має назву закону Кюрі. Крива намагнічування парамагнетиків, з урахуванням ефекту насичення (5.58), має такий вигляд (рис.5.15). Використовуючи

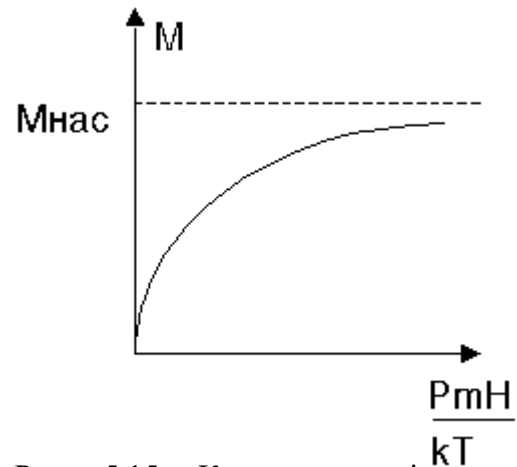


Рис. 5.15. Крива намагнічування парамагнетиків

співвідношення  $M = \chi H$  та (5.60), знаходимо магнітну сприйнятливість парамагнетиків

$$\chi = \frac{NP_m^2}{3kT}. \quad (5.61)$$

Необхідно зауважити, що намагнічування парамагнетиків залежить від температури – збільшення температури руйнує намагнічування та зменшує сприйнятливість  $\chi$ .

## 5.2.4 Феромагнетики

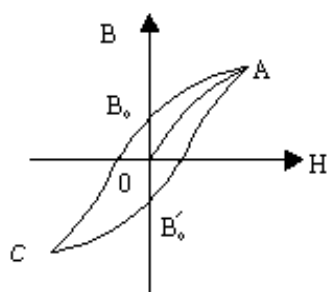


Рис. 5.16. Магнітний гістерезис.

Феромагнетики визначаються складною нелінійною залежністю між індукцією  $B$  і напруженістю  $H$ . Якщо поле, яке намагнічує, періодично змінюється, згідно синусу або косинусу, то за відрізок часу, що дорівнює четвертій частці періоду, залежність індукції  $B$  феромагнетику від поля  $H$  має той же вигляд, що і для парамагнетиків (крива ОА рис.5.16).

Після насилення (точка  $A$ ) на другій половині півперіоду, коли магнетик розмагнічується, цей процес проходить згідно з кривою  $AB_0C$ . Повторне намагнічування відповідає кривій  $CB_0^1A$ . Таким чином, при періодичному намагнічуванні крива намагнічування має вигляд петлі гістерезису (рис.5.16). Тут  $B_0$  – поле залишкового спонтанного намагнічування.

Феромагнітні властивості критичні за температурою. Кожний феромагнетик має характерну температуру, яка називається температурою Кюрі  $T_c$ , вище якої феромагнітні властивості зникають та феромагнетик змінює свою структуру і переходить у звичайний парамагнетик. Намагнічування феромагнетиків при температурах нижчих за температуру Кюрі визначається законом Кюрі-Вейссса

$$M = M_{\text{nac}} \frac{P_m H}{k(T - T_c)}. \quad (5.62)$$

Площа петлі гістерезису чисельно дорівнює енергії, яка витрачається при перемагнічуванні феромагнетику

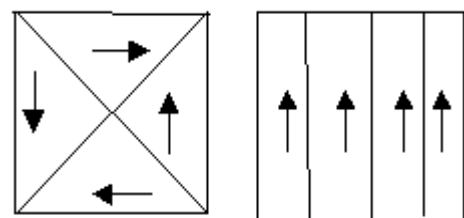


Рис. 5.17. Намагнічування доменів : а) поле  $H = 0$ , б) поле включено.

$$u = \oint H dB, \quad (5.63)$$

де  $u$  - густина енергії.

Феромагнітний стан магнетиків виникає завдяки структурній перебудові речовини при температурі Кюрі  $T = T_c$ , внаслідок якої відбувається спонтанне намагнічування окремих груп атомів з одним напрямком магнітних моментів. Такі групи мають назву доменів. Орієнтація доменів у магнітному полі спричиняє виникнення намагнічування, значно більшого, ніж у парамагнетиків, та петлі гістерезису. Доменна структура зникає при підвищенні температури над температурою Кюрі  $T_c$ .

Таблиця 1

Температура Кюрі для деяких феромагнетиків

Речовина	$T_c, {}^\circ\text{C}$	Речовина	$T_c, {}^\circ\text{C}$
Залізо	770	Нікель	360
		Гадоліній	17